

京都大学工学部 正員 工博 小西一郎  
 京都大学工学部 正員 工修 山川純雄  
 京都大学大学院 学生員 佐田勝也

### 1. まえがき

この種の締手に関しては、さきに報告したが<sup>1)</sup>、ここでは主として引張型高強度ボルト接合のボルト付加張力変化について報告する。Fig-1(a)(b)に示すようなく2種の試験用( $L=3000\text{mm}$ )にフック静的載荷(スラスト荷重)試験を行なう、接合部に曲げモーメントのみを作用させ、ボルトの張力、スペニ中央のたわみ、端板の離間等を測定した。なお、使用したボルトはM22-F13T(引張強度130kg/mm<sup>2</sup>、降伏強度110kg/mm<sup>2</sup>)である。ボルト1本当たりの締付力は第一段階として14.5tとした。

### 2. 理論的解析

引張力のみが作用するTension Type Jointに対しては、R.T.Doubyなどが理論解析を行なっている。この場合、端板の変形によって prying action(テコ作用)が発生し、このたゞボルトの付加張力はみかけより大きくなることが知らねまゝ<sup>2)</sup>。この prying actionに影響する主要な因子としては、(1)端板の剛性(厚さ), (2)Initial Tension の大きさ, (3)ボルトの配置、および端板の寸法等が挙げられる。一方、引張接合に曲げが作用する場合の付加張力の理論解析は非常に複雑であり、明らかにさくまつたり。しかしながら、この prying actionの影響を考慮しなければその挙動を正しく把握しえない。以下、Fig-1(a)のType Aに対する解法を説明する。すなはち、無載荷時にみたてば、各ボルト張力はInitial Tension  $B_0$ に等しい。これに釣合う圧縮力はボルト周辺の局部的な領域( $A_p$ )に限られる。すなはち、端板の残余の部分は単に接触するだけで面圧はzeroであると仮定する。よって、有効圧縮面積 $A_p$ にのみボルトの Initial Tension による Contact Force  $C_i$ が作用する。ここで、外カが作用すると、端板が変形し Prying Force  $Q_i$ が生じ、ボルト張力は $B_i$ となる。(iはボルト番号)すなはち、圧縮側には圧縮力、引張側にはボルト張力 $B_i$ 、Prying Force  $Q_i$ 、Contact Force  $C_i$ が作用する(Fig-2)。これらの諸力による接合面内の垂直力、およびモーメントの釣合が保たれねまゝことを考え、その釣合式を求め、ボルトの伸びと端板の変形条件式を立てれば、未知量の数に等しい条件式を得られる。よって、これら2つの条件式を解けばよいわけである。さて、 $P$ が増大して、Bolt Line が離間した瞬間( $A_p=0$ )における、Contact Force  $C_i$ が zero となるため、上で求めた式で  $C_i=0$  とおけば、端板の離間荷重、ボルト付加張力  $B_i - B_0$  が求まる。次に、すべて

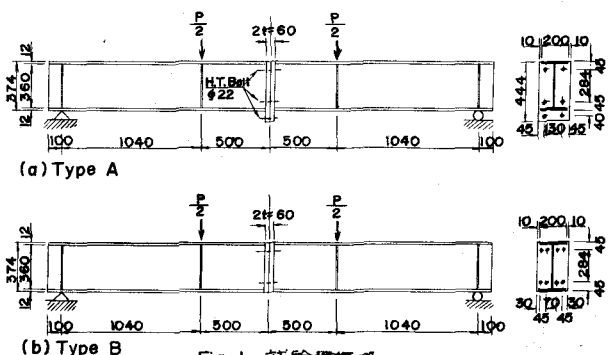


Fig. 1 試験用概略

のボルトは2端板が同時に離間するとは考えられないから、離間したボルトの Contact Force  $C_1 \approx zero$ として上と同様に残りの諸力の釣合式、すなばく変形条件式を求めて端板の離間荷重、付加張力と求めることができる。Fig-1 (b)の Type B についても同様の考え方で解析する。

### 3. 実験結果と理論値

Fig-1 の 2種の試験片は、Fig-2 で測定したボルトの付加張力、およびスパン中央の下凹みは、それでFig-3、Fig-4 に示す。以下、理論値について講演当日報告する。

1) 第20回年次学術講演会講演概要 I-85 昭40.5

2) R.T.Douby and William McGuire: "High Strength Bolted Moment Connections", Proc. of A.S.C.E.

April, 1965. PP101  
~128.

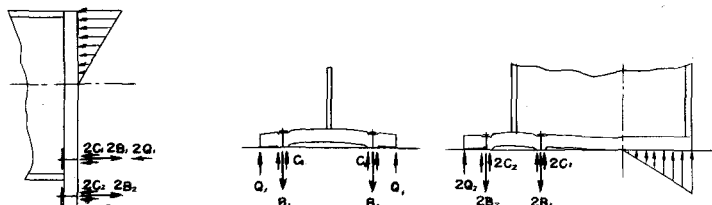


Fig. 2

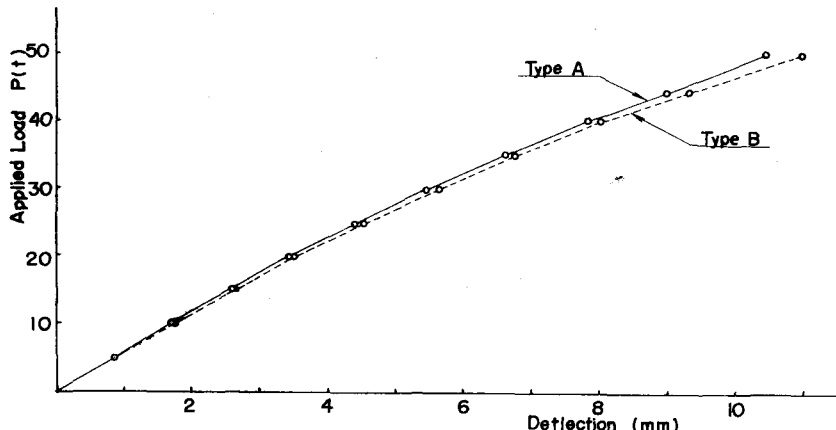


Fig. 3 Load-Deflection Curve

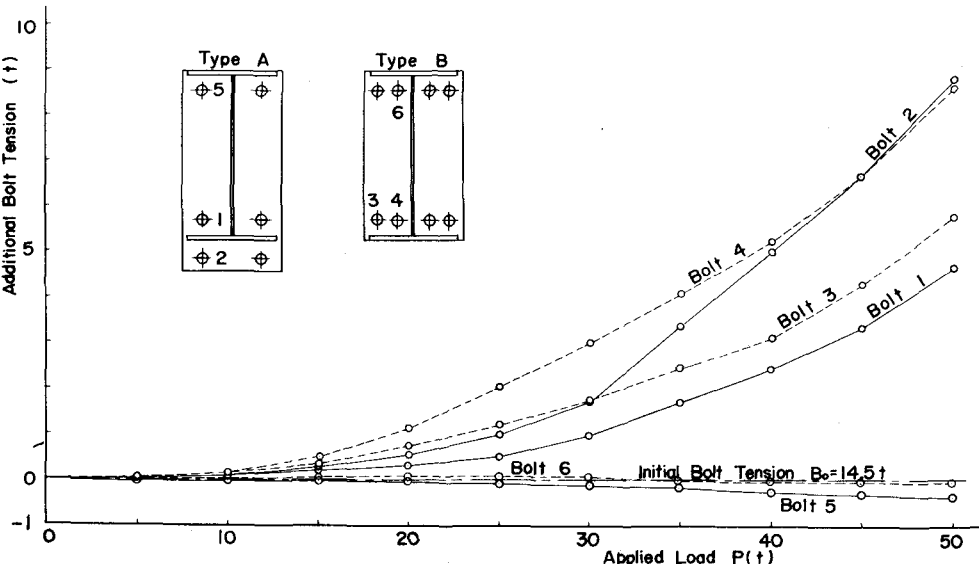
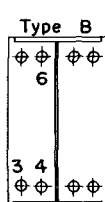
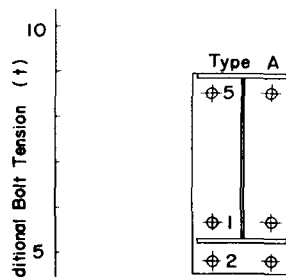


Fig. 4 Additional Bolt Tension